

УДК 004.3

А. С. ФИЛИПОВА

БЛОЧНАЯ ТЕХНОЛОГИЯ КОНСТРУИРОВАНИЯ АЛГОРИТМОВ ДЛЯ РЕШЕНИЯ ЗАДАЧ ПРЯМОУГОЛЬНОЙ УПАКОВКИ ПОЛУБЕСКОНЕЧНОЙ ПОЛОСЫ

Рассматривается NP-трудная задача прямоугольной упаковки полубесконечно-го рулона (1.5 Dimensional Bin Packing, 1.5DBP). Предлагается новая технология блочных структур для решения задач 1.5DBP на основе вероятностных методов локального поиска оптимума. После небольших модификаций она может быть применена и для решения задач 2DBP, а также параллелепипедной упаковки, 3DBP. *Задача прямоугольной упаковки; технология блочных структур; локальный поиск оптимума; метаэвристики*

ВВЕДЕНИЕ

Под задачами раскроя-упаковки (Cutting and Packing, **C&P**) понимается широкий класс задач, допускающих различное прикладное толкование. Общим для этого класса является наличие двух групп объектов. Между элементами этих групп устанавливается и оценивается соответствие. Впервые качественная типология в области раскроя-упаковки проведена в 1990 г. немецким ученым *H. Dyckhoff* [22]. Она принята в мировой практике и используется при изучении моделей и методов решения задач раскроя-упаковки. Разнообразие моделей определяется прежде всего фактором геометрии. Различают задачи линейного (одномерного), прямоугольного (двухмерного) и параллелепипедного (трехмерного) раскроя-упаковки. Среди этих задач выделяются гильотинный раскрой и упаковка. Особое значение имеют задачи нестинга, размещения деталей сложной геометрической формы в заданных областях. Для них на первый план выступают информационные проблемы задания фигур, учета и обеспечения их непересечения, кодировки и другие. Задачи **C&P** являются типичными представителями NP-трудных проблем комбинаторики, и для их решения (включая проблемы нестинга) применяются общие подходы: точные методы, простые эвристики и метаэвристики. Ввиду неполномиальной сложности точных алгоритмов, авторами многих работ уделяется значительное внимание приближенным методам и эвристикам.

В течение 90-х годов прошлого столетия по теме раскроя-упаковки было выпущено несколько специальных изданий: под редакцией *H. Dyckhoff & G. Wascher* в 1990 г. [23], *S. Martello* в 1994 г. [31, 32], *Y. Lirov* в 1995 г. [29], *E. Bischoff & G. Wascher* в 1995 г. [21], *E. Mukhacheva* в 1997 г. [33], *H. Yanasse* в 1999 г. [36], *P. Wang & G. Waesher* в 2002 г. [35]. Более того, сотни статей опубликованы в международных и российских журналах: *European Journal of Operational Research (EJOR)*, *Computers & Operational Research*, *Computers & Industrial Engineering*, *Operations Research Letters*, *Pesquisa Operacional*; «Информационные технологии», «Автоматика и телемеханика», «Дискретный анализ и исследование операций», «Вестник высшей школы», «Кузнечно-штамповочное производство» и другие центральные и ведомственные издания. При этом статьи и книги имеют как теоретический, так и прикладной характер.

Причина растущего интереса к задачам раскроя-упаковки состоит в их принадлежности к NP-трудным проблемам, в широкой применимости результатов, разнообразии и сложности задач реального мира, которые можно реализовать как NP-трудные.

Представленная здесь технология предназначена для решения задач упаковки в полубесконечную полосу (1.5DBP).

Термин 1.5-размерной задачи ввел в 1980 г. *A. Hinxman* [26]. Остановимся подробнее на постановке этой задачи. Пусть имеются прямоугольная полоса заданной ширины W и неограниченной длины и набор из

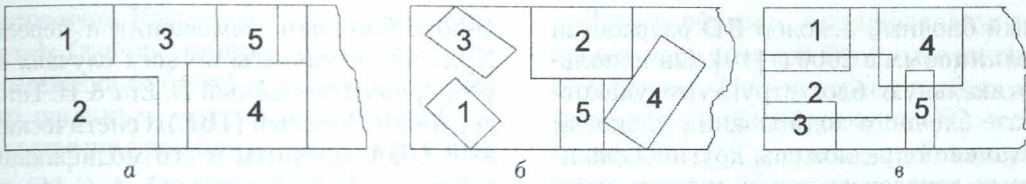


Рис. 1. Упаковка прямоугольников: а — допустимая ортогональная; б — неортогональная; в — недопустимая ортогональная

m прямоугольных предметов заданных размеров $(w_i, l_i), i = 1, \dots, m$, где w_i — ширина, l_i — длина стороны, параллельной неограниченной грани полосы. Введем прямоугольную систему координат: оси Ox и Oy совпадают соответственно с нижней неограниченной и боковой сторонами полосы. Положение каждого прямоугольника P_i зададим координатами (x_i, y_i) его левого нижнего угла.

Задача 1.5DBP. Набор векторов $(x_i, y_i), i = 1, \dots, m$ называется прямоугольной упаковкой (Rectangular Packing, **RP**), если для $i \neq j; i, j = 1, \dots, m$

$$x_i \geq (x_j + l_j) \vee x_j \geq (x_i + l_i) \quad (1)$$

или

$$y_i \geq (y_j + w_j) \vee y_j \geq (y_i + w_i); \quad (2)$$

$$x_i \geq 0 \wedge y_i \geq 0 \wedge y_i + w_i \leq W. \quad (3)$$

Условия (1) или (2) означают непересечение прямоугольников между собой, а (3) — с границами полосы. На рис. 1 изображены допустимая и недопустимые упаковки. Если длина L занятой части полосы достигает минимума, то **RP** — оптимальная упаковка. Исходную информацию для **1.5DBP** принято задавать вектором $(W; m; w; l); w = (w_1, \dots, w_m); l = (l_1, \dots, l_m)$.

Различаются задачи прямоугольной упаковки и гильотинного раскроя. В том и другом случаях требуется разделить большой прямоугольник на малые так, чтобы стороны прямоугольников были параллельны сторонам большого прямоугольника и выбранная функция цели достигала минимума. Задачи упаковки и гильотинного раскроя различаются технологией разделения. Гильотинность предполагает возможность только сквозных резов, параллельных кромкам раскраиваемого материала. Задачи гильотинного раскроя берут свое начало от одномерного случая и рассматриваются как обобщение последней в первых работах Л. В. Канторовича, В. А. Залгаллера [2, 3] и Р. Gilmore, R. Gomory [25]. Методы, алгоритмы и технологии, разработанные для за-

дач линейного раскроя, адаптированы на случай гильотинного (2- и 3-мерного) раскроя. Подробно эта задача в условиях массового и серийного производства описана в работах Э. А. Мухачевой [12, 13] в России и J. Terno, R. Lindeman & G. Scheithauer [34] в Германии. Метод склейки И. В. Романовского, разработанный вначале для задач линейного раскроя, также был обобщен на случай гильотинного раскроя [18]. В современных работах авторы часто исходят из тщательной проработки задачи линейного раскроя. Например, метод отсекающих плоскостей, подробно разработанный и исследованный Г. Беловым и G. Scheithauer, обобщается Г. Беловым на случай гильотинного раскроя [20].

Среди простых алгоритмов решения задач **1.5DBP** и **2DBP** выделяются те, которые служат декодерами в многопроходных алгоритмах. Их разработка стала актуальной в связи с появлением и развитием вероятностных методов локального поиска оптимума. Они вычисляют значение целевой функции и восстанавливают эскиз упаковки. Для этого с помощью декодера достаточно найти прямую схему кодирования, которой является последовательность координат (x, y) , удовлетворяющая условиям допустимости упаковки. В качестве исходных кодов часто используют приоритетные списки (перестановки прямоугольников) [10]. Затем с помощью декодера переходят к прямой схеме. Известны различные алгоритмы — декодеры, и между ними возникла некая конкуренция. Широкое распространение на Западе получил декодер нижний-левый (Bottom-Left, **BL**). Усовершенствованный нижний-левый (Improved Bottom-Left, **IBL**) предложен D. Liu & H. Teng в 1999 г. [30]. Различные варианты реализации этого алгоритма использует И. П. Норенков в рамках генетического алгоритма [17]. Е. Hopper & В. Turton применяют **BL** в составе нескольких мета-эвристик [27]. I. Imahori (Япония) в 1995 г. разработал схему парных последовательностей (Sequence Pair, **SP**) кодирования упаковок для комбинаторного поиска [28]. Эф-

фективный блочный декодер **BD** разработан А. В. Чиглинцевым в 2000 г. [10]. Он использует вертикальную блок-структуру упаковки. На базе блочного кодирования упаковки А. С. Мухачевой предложены другие варианты блочных декодеров: поиск парных списков (Dublicity List Search, **DLS**) [6], замещения (**Sub**) и декодера перестройки (Reconstructions, **Rec**) [14].

Внесение в детерминированный алгоритм элементов случайности повышает его результативность. Так, например, повысилась эффективность алгоритмов *последовательного уточнения оценок* (Sequential Value Correction, **SVC**) и *динамического перебора* (Dinamic Sorting, **DS**) после внесения в них элементов стохастичности [15, 11]. Бурное развитие вероятностных методов локального поиска оптимума началось 20 лет назад с появлением метаэвристик для решения **NP**-трудных задач, систематическое обоснование и характеристика которых приведены в 1996 г. в книге под редакцией E. Aarts, J. Lenstra [19]. В России обзор вероятностных методов локального поиска оптимума для **NP**-трудных задач сделан в 2001 г. Ю. А. Кочетовым [5]. В обзоре обсуждаются общие схемы алгоритмов поиска с запретами, имитации отжига и генетических алгоритмов. Показано, что эти разные по своей структуре алгоритмы используют общую математическую конструкцию конечных цепей Маркова. Это свойство гарантирует сходимость по вероятности наилучшего найденного решения к оптимальному решению задачи.

Первыми среди метаэвристик для задач раскроя-упаковки стали применяться генетические алгоритмы. В этой связи хорошо зарекомендовали себя работы 1992–2000 годов, например, E. Falkenaur [24]. Он ввел процедуру группирования в классическую схему. Основные генетические структуры (*ген*, *аллели*, *хромосома*) и операции (*кроссовер* и *мутация*) определены многими авторами, в том числе в России Д. И. Батищевым [1]. Возможны различные способы кодирования и приемы идентификации простейших структур. Это порождает различные классы генетических алгоритмов. Классический генетический алгоритм для решения задач **1.5DBPP** и **2DBPP** представлен, например, в работах D. Liu & H. Teng [30]; А. С. Мухачевой, М. А. Смагина [10]. Они различаются деталями и программной реализацией. Эффективность классического алгоритма зависит от используемого декодера. Исследован алгоритм D. Liu & H. Teng с родным деко-

дером, блочным, замещения и перестройки. Худшие результаты во всех случаях показал усовершенствованный D. Liu & H. Teng декодер нижний-левый (**IBL**). Генетический блочный **GBA** алгоритм и его модификации разработаны Э. А. Мухачевой, А. С. Мухачевой, А. В. Чиглинцевым в 1999 г. [16]. В этом алгоритме генами являются блоки — прямоугольные фрагменты упаковки.

И. П. Норенков в 1999 г. предлагает использовать в качестве генов простые эвристики [17]. Результаты тестирования оказались сопоставимы с блочным алгоритмом при количестве прямоугольников $m \leq 250$ и превосходят все другие тестируемые алгоритмы при $250 < m < 1000$. Эта технология использовалась А. С. Мухачевой и А. В. Чиглинцевым в 2000 г. для задач гильотинного раскроя [9].

Среди эволюционных алгоритмов особое место занимает специальная блочная технология конструирования алгоритмов локального поиска оптимума в задачах **1.5DBP** и **2DBP**. Она развита в работах А. С. Мухачевой и другими авторами [6–8, 14, 16]. В работе [16] положено начало в области блочных технологий. Там используется только одна, вертикальная блок-структура. С 2002 г. для конструирования алгоритмов А. С. Мухачевой и В. М. Картаком предлагается схема парных списков, которая базируется на двух структурах: вертикальной и горизонтальной. А. С. Мухачева использует язык блок-структур для конструирования алгоритмов локального оптимума [8], а В. М. Картак — связанных матриц для алгоритма типа ветвей и границ [4].

Здесь делается попытка обобщения накопленного опыта в виде блочной технологии конструирования алгоритмов решения задач двухмерной упаковки.

1. БЛОК-СТРУКТУРЫ УПАКОВКИ И ИХ СВОЙСТВА

Пусть имеется прямоугольная упаковка **RP**. Проведем через правые стороны прямоугольников вертикальныерезы, они разбивают **RP** на прямоугольные вертикальные блоки одной и той же ширины W и различной длины. Пусть длина **RP** равна N . Проведем через верхние стороны прямоугольников горизонтальные линии. Тогда **RP** разобьется на горизонтальные блоки одной и той же длины N и различной ширины η_j , причем $\sum_j \eta_j \leq W$. Таким образом, мы получаем две блок-структуры для **RP**, вертикальную и

горизонтальную. Каждому блоку j сопоставим кортеж (запись номеров прямоугольников, пересекающих блок) и длину χ_j вертикального, ширину η_j — горизонтального блока. В качестве шифров блок-структур используем пары списков $(S, N) \left((\tilde{S}, \tilde{N}) \right)$, где

$$S = \{1(j), 2(j), \dots, i(j), \dots\} \chi_j, \quad j = \overline{1, r}, \quad N = \sum_{j=1}^r \chi_j; \quad (4)$$

$$\tilde{S} = \{1(j), 2(j), \dots, i(j), \dots\} \eta_j, \quad j = \overline{1, q}, \quad \tilde{N} = \sum_{j=1}^q \eta_j,$$

$i(j)$ — номер прямоугольника в позиции i , пересекающего блок j ; r — количество вертикальных, q — горизонтальных блоков.

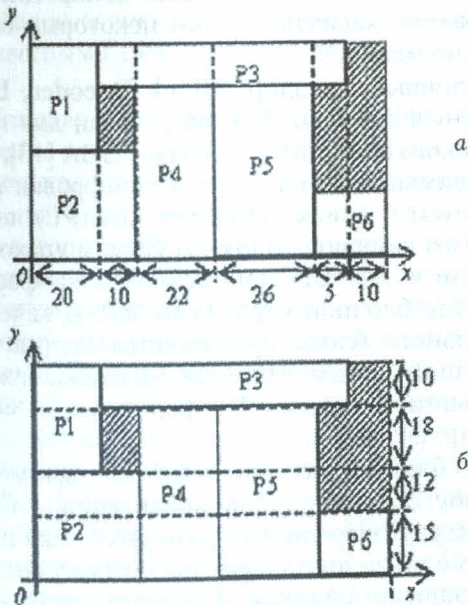


Рис. 2. Блок-структуры упаковки: а — вертикальная; б — горизонтальная

Пример 1. На рис. 2 изображены вертикальная и горизонтальная блок-структуры упаковки с $m = 6$. Разбиения на блоки указаны штриховыми линиями. Там же указаны длины (ширины) блоков. Легко проверить, что этим блок-структурам отвечают следующие списки:

$$S = \{(2, 1)20; (2, 3)10; (4, 3)22; (5, 3)26; (6, 3)5; (6)10\};$$

$$\tilde{S} = \{(2, 4, 5, 6)15; (2, 4, 5)12; (1, 4, 5)18; (1, 3)10\}.$$

Длина $N(\mathbf{RP}) = 20 + 10 + 22 + 26 + 5 + 10 = 93$; ширина $\tilde{N}(\mathbf{RP}) = 15 + 12 + 18 + 10 = 55 = W$.

Таким образом, имея упаковку, легко получить пару списков S и \tilde{S} , отвечающих блок-структурам. Нас интересует обратная задача: по исходной информации $(W; m; w; l)$ найти списки $S(\tilde{S})$, соответствующие упаковке. Обозначим: $I_j(\tilde{I}_j)$ — множество прямоугольников, пересекающих j -й вертикальный (горизонтальный) блок; $I_j^+(\tilde{I}_j^+)$ — множество прямоугольников $i \in I_j(i \in \tilde{I}_j)$, заканчивающихся в j -м блоке; $I_j^-(\tilde{I}_j^-)$ — множество прямоугольников $i \in I_j(i \in \tilde{I}_j)$, начинающихся в j -м блоке. Важными являются следующие необходимые свойства соответствия:

Лемма 1. Пусть список $S(\tilde{S})$ построен на основании исходной информации $(W; m; w; l)$ задачи 1.5DBP. Если этот список соответствует допустимой упаковке **RP**, то он удовлетворяет следующим свойствам:

- 1°. Разнородность прямоугольников. Элементы $i(j)$ каждого кортежа $I_j(\tilde{I}_j)$ различные.
- 2°. Продолженность прямоугольников. Если некоторый элемент $i(j) \notin I_j^+(\tilde{I}_j^+)$, то $i(j) \in I_{j+1}(\tilde{I}_{j+1})$.

3°. Непересечение. Для любого вертикального и любого горизонтального блока выполняется одно из следующих условий:

- (а) для любой пары $(i_1, i_2) \in I_k, k \in S$ и любого кортежа $j \in \tilde{S}$: если $i_1 \in \tilde{I}_j$, то $i_2 \notin \tilde{I}_j$ или если $i_2 \in \tilde{I}_j$, то $i_1 \notin \tilde{I}_j$;
- (б) для любой пары $(i_1, i_2) \in \tilde{I}_j, j \in \tilde{S}$ и любого кортежа $k \in S$: если $i_1 \in I_k$, то $i_2 \notin I_k$ или если $i_2 \in I_k$, то $i_1 \notin I_k$.

4°. Размещаемость. Если некоторые элементы $i \in I_j^+(\tilde{I}_j^+), j \in S(\tilde{S})$, то вместо них в $(j + 1)$ -м кортеже должны разместиться все его новые элементы.

5°. Непересечение с границами полосы:

$$\sum_{j=1}^r \chi_j = N; \quad \sum_{j=1}^q \eta_j = \tilde{N} \leq W.$$

6°. Координаты $(x_i; y_i), i = \overline{1, m}$ вычисляются по формулам:

$$x_{i(k)} = \sum_{j=1}^{k-1} \chi_j, \quad i(k) \in I_k;$$

$$y_{i(k)} = \sum_{j=1}^{k-1} \eta_j, \quad i(k) \in \tilde{I}_k^-.$$
(5)

Лемма 2. Свойство 3° является достаточным условием непересечения прямоугольников в упаковке.

Пусть имеет место условие (а) свойства 3° . Тогда если прямоугольники P_{i_1} и P_{i_2} пересекают один и тот же вертикальный блок, то они не могут пересечь один и тот же горизонтальный блок, т. е. содержатся в различных горизонтальных блоках. А это означает раздвинутость прямоугольников по оси Oy , т. е. (2). Аналогично выполнение условия (б) означает раздвинутость прямоугольников по оси Ox . Выполнение (а) или (б) означает непересечение прямоугольников по определению.

Лемма 3. Свойства 3° и 4° эквивалентны. При выполнении любого из них прямоугольники в упаковке **RP** не пересекаются.

Утверждение 1. (Достаточные условия соответствия). Блок-структуры (S, N) и (\tilde{S}, \tilde{N}) , удовлетворяющие свойствам 1° , 2° , 5° и свойствам 3° или 4° , соответствуют допустимой упаковке **RP** с координатами $(x_i; y_i)$, $i = \overline{1, m}$, вычисленными по формулам (5).

Доказательство. Пусть блок-структуры (S, N) и (\tilde{S}, \tilde{N}) удовлетворяют свойствам 1° , 2° , 5° и условию (3° или 4°). Условие 1° обеспечивает неразрывность прямоугольников по вертикали, условие 2° — продолженность (неразрывность) прямоугольников по горизонтали. Таким образом, 1° , 2° гарантируют целостность прямоугольников в блок-структурах. Выполнение 3° или 4° означает непересечение прямоугольников между собой ((1) или (2)), а выполнение 5° — непересечение с гранями полосы (3). Тогда блок-структурам соответствует допустимая упаковка по определению. Очевидно, что координаты $(x_i; y_i)$ прямоугольников P_i , $i = \overline{1, m}$, удовлетворяют условиям (5).

2. ТЕХНОЛОГИЯ БЛОЧНЫХ СТРУКТУР: ДЕТЕРМИНИРОВАННЫЕ БЛОК-АЛГОРИТМЫ

На базе блочных структур рассматриваются две технологии: *вертикальной блок-структуры* и *двойственной блок-структуры*. В первой технологии описывается только одна, вертикальная блок-структура.

Технология базируется на обобщенной структуре методов локального поиска, получивших широкое распространение в последние десятилетия в виде метаэвристик. Локальный поиск составляют следующие основные шаги:

1. *инициализация.* Выбрать начальное допустимое решение и вычислить для него значение критерия оптимальности;

2. *генерация соседнего решения.* Выбрать допустимое решение из окрестности начального решения и вычислить для него значение критерия;

3. *анализ перехода.* Проверить, следует ли совершать переход к новому решению. Если да, то применить новое решение в качестве текущего, в противном случае предыдущее решение остается текущим;

4. *конец.* Завершить работу алгоритма и вывести решение.

Блок-структуры используются на втором и четвертом шагах. Могут быть использованы и при построении первого решения. При этом применяются только *вертикальные* блок-структуры (Upright, UBS) или *горизонтальные* (Horizontal, HBS) структуры. Приведем конкретизации и краткие характеристики некоторых блок-алгоритмов.

Блочный декодер (Block Decoder, BD). Блочный декодер, BD, разработан для генетического блочного алгоритма, GBA [16]. Там он применяется на этапе расшифровки приоритетного списка (Priority List, PL), полученного на основе блок-структуры упаковки. Вместе с тем BD ориентирован на формирование блочной структуры **RP**. В качестве начального блока принимается полоса бесконечной длины. По мере упаковки прямоугольников согласно PL формируют и модифицируют блоки.

В блок-структуре хранятся фрагменты прямоугольников. Для добавления в блок-структуру очередного прямоугольника необходимо также знать размеры пустых участков, остающихся в блоках. Для этого предложено хранить ширину такого участка в самой блок-структуре, но со знаком «*», чтобы отличать от номеров прямоугольников, а его длина равна длине блока, в котором он находится.

Под модификацией блок-структуры понимается корректное (в соответствии с размерами размещаемых прямоугольников) изменение длины блоков, ширины пустых участков, а также добавление новых блоков.

Эксперименты показали, что **GBA** дает лучшие результаты, если в декодере на этапе размещения добавить простые эвристики, смещающие прямоугольник в пределах пустого участка. Эвристики применяются для смещения или нет в зависимости от случай-

ной величины, разыгрываемой для каждого прямоугольника.

Были предложены следующие две эвристики:

- **сравнение**: перед размещением прямоугольника сравниваются возможные потери площади выше и ниже прямоугольника, сдвиг делается в сторону меньшей площади; таким образом, увеличивается вероятность того, что в большей области смогут разместиться еще несколько предметов;

- **сдвиг**: в зависимости от положения прямоугольника относительно средней линии полосы, он сдвигается к ближайшему краю; таким образом, прямоугольники притягиваются к краям полосы, образуя в середине пустое пространство, в котором могут разместиться другие прямоугольники из приоритетного списка.

Трудоемкость **BD** — $O(m^2)$. Блочный декодер разработан А. В. Чиглицевым [10], он показал высокую эффективность, сравнимую с известными «восточными» декодерами типа **SP**.

Декодер замещение (Substitution, Sub).

Решение задачи осуществляется в два этапа. На первом этапе решается вертикальная задача линейного раскроя. Для этого применяется алгоритм **FF** с учетом дополнительных ограничений 1°, 2° и 4°. Затем формируется список запретов **TL** и переходят к следующему этапу. На втором этапе необходимо найти любое допустимое решение горизонтальной задачи линейного раскроя. Покажем, что это можно сделать за один проход.

Однопроходный алгоритм решения RCS* (FF*). Пусть имеются: исходная информация вида $(W; m; w; l)$ задачи **1.5DBP** и решение вертикальной задачи в виде пары $(S; N)$. Причем это решение удовлетворяет условиям 1°, 2° и 4°. Существуют эвристики (декодеры), генерирующие **RP** по этой информации. Здесь же мы опишем декодер на базе двойственной схемы, который вычисляет горизонтальную блок-структуру длины $N^* \leq W$ за один проход. После этого остается по формулам (5) вычислить координаты прямоугольников и изобразить эскиз упаковки.

Горизонтальный алгоритм *первый подходящий*, **FF***, основан на связи двух структур, генерируемой (\tilde{S}, \tilde{N}) с уже имеющейся $(S; N)$. Алгоритм **FF*** включает выполнение следующих процедур:

1. Построение первого кортежа.

1.1. **Выбор первого элемента**. В качестве первого элемента i_1 первого кортежа \tilde{S} пола-

гаем первый элемент первого кортежа списка S и удаляем его из всех кортежей списка. Элемент i_1 продолжается в следующих кортежах списка \tilde{S} , пока $b_{i_1} \neq 0$.

1.2. **Выбор следующего элемента**. Каждый следующий элемент текущего кортежа выбирается как первый возможный из списка S с учетом его длины, свободного места в кортеже и списка запретов **TL**. Как только элемент выбран, он удаляется (отмечается) в списке S .

2. **Переход к следующему кортежу**. Если $S = \emptyset$, то пара (\tilde{S}, \tilde{N}) построена и для нее выполняется условие $\tilde{N} \leq W$, так как алгоритм не нарушает свойств 4° вертикальной блок-структуры. Иначе — переход на 3.

3. **Построение следующего кортежа**. Если $b_{i_1} \neq 0$, то в качестве первого остается первый элемент предыдущего кортежа. Если $b_{i_1} = 0$, то в качестве первого выбирается первый элемент из первого непустого кортежа списка S . Далее элементы выбираются по правилу 1.2.

4. **Вычисление координат** прямоугольников по формулам (2.5).

5. **Построение эскиза упаковки**.

Замечание. Можно реализовать работу **Sub** на одном вертикальном этапе, так как при решении линейной задачи размещение элементов жестко фиксируется. В таком случае в качестве фиктивных прямоугольников фигурируют в списке S остатки с признаком (*). Номера им присваиваются начиная с $(m + 1)$ по мере появления в блоках. Обозначим через $i(\nu(k))$ номер прямоугольника, занимающего в блоке k -ю позицию ν . Тогда в примере 1 $S = \{(2; 1)20; (2; 7^*)310; (4; 3)22; (5; 3)26; (6; 8^*)35(6; 9^*)10\}$, а $2(5) = 8^*$; $3(2) = 3$. Тогда координаты $(x_i; y_i)$, $i = \overline{1, m}$ прямоугольников вычисляются по формулам:

$$\begin{aligned} x_{i(\nu(k))} &= \sum_{j=1}^{k-1} \chi_j; \\ y_{i(\nu(k))} &= \sum_{j=1}^{\nu-1} w_{i(j(k))}, \\ i(\nu(k)) &\in I_k^-. \end{aligned} \tag{6}$$

Метод перестройки (Reconstructions, Rec). **Топологические свойства упаковки**. Предположим, что задача **RCS** решена и известно ее оптимальное решение N . Это решение представлено списком кортежей вида (4). Каждому кортежу отвечает блок, удовлетворяющий свойствам 1° и 2°. Определяющим для **RP** с $L = N$ является выполнение свойства 4° размещаемости прямоуголь-

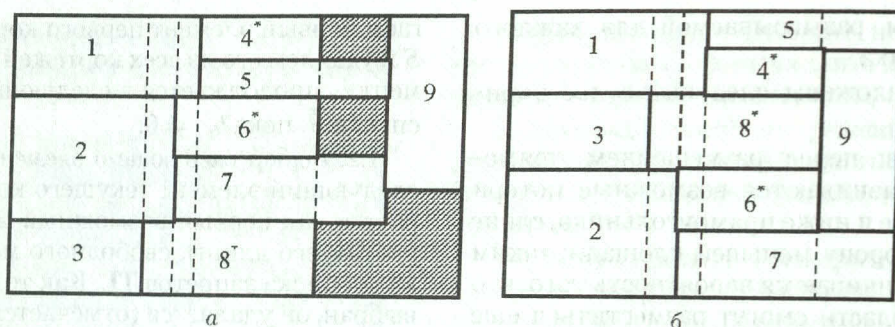


Рис. 3. Прямоугольная упаковка до (а) и после (б) «перестройки»

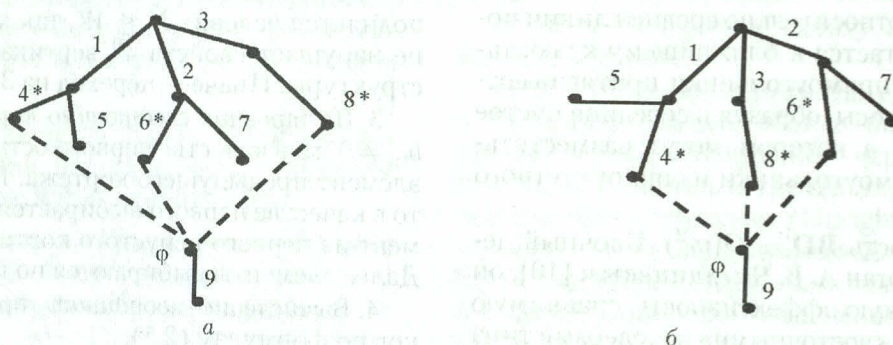


Рис. 4. Интерпретация d.ROLC на графах до (а) и после (б) «перестройки»

ников. Предположим, что для некоторой пары соседних кортежей $(j, j+1)$ нарушено это свойство. Тогда будем говорить, что при переходе с кортежа j к кортежу $(j+1)$ возникла ситуация *перестройки*, а соответствующие области $(j+1)$ -го кортежа назовем *критическими*.

Рассмотрим интерпретацию указанной ситуации на графах. Рассмотрим вначале наглядный пример. На рис. 3 изображены упаковки **RP1** и **RP2** в полосу одних и тех же прямоугольников и $L(\mathbf{RP1}) > L(\mathbf{RP2})$. Четыре первых блока в этих упаковках различаются только перестановкой прямоугольников, входящих в них. В случае а в блоке № 5 не удастся разместить девятый прямоугольник. Здесь мы встретились с ситуацией *перестройки*. Продолжения областей 4-го, 8-го и 6-го прямоугольников на 5-й блок *критические*. Если удастся их объединить в одну общую область, то перестройка преодолена. В случае б, полученном после перестановки прямоугольников в блоках №№ 1–4 случая а, освободилось место для размещения девятого прямоугольника в блоке № 5 (выполнено свойство размещаемости). Процедуру, реализующую нужную перестановку прямоугольников в блоках (элементов в кортежах), назовем *перестройкой*.

Непрерывный отрезок в **RP**, параллельный боковой стороне полосы, являющийся объединением левых вертикальных сторон упакованных в полосу прямоугольников, назовем *опорной гранью* этих прямоугольников.

Сопоставим первым четырем блокам упаковок, изображенных на рис. 3, неориентированные графы. Вершины графа отвечают опорным граням начальных элементов, а ребра графа — прямоугольникам. На рис. 4, а и б сплошными линиями изображены фрагменты графов, соответствующих случаям а и б рис. 3.

Граф, отвечающий прямоугольной упаковке, назовем **RP-графом**.

Известно, что граф, для которого существует ему изоморфный с плоским изображением, называется *планарным*. Плоское изображение графа разбивает плоскость на связанные компоненты, одна из которых является неограниченной.

Очевидными являются следующие утверждения:

Утверждение 2.2. **RP-граф** является планарным, и в его плоском изображении корневая и висячие вершины расположены в неограниченной области.

Утверждение 2.3. Для объединения освобожденных областей в блоке j необходимо и достаточно, чтобы граф, отвечающий первым

j блокам, после размещения рядом отмеченных вершин оставался **RP**-графом.

Вершины, инцидентные ребрам 5 и 7, являются висячими для графов, изображенных на рис. 4. В случае *a* они расположены во внутренней грани графа, а в случае *б* — во внешней. Таким образом, задача объединения свободных областей сводится к построению плоского изображения **RP**-графа, у которого висячие вершины расположены во внешней неограниченной грани.

Декодер парных списков (Doublicity List Search, DLS). Он использует обе блок-структуры, **UBS** и **HBS**. На первом этапе строится допустимое решение задачи линейного раскроя, удовлетворяющее условиям 1° и 2° . Пусть найденное решение равно N и оно превосходит рекорд. На втором этапе строится допустимое решение горизонтальной задачи линейного раскроя прутков длины N , удовлетворяющее условиям 1° , 2° и 3° . Если полученное решение $\tilde{N} \leq W$, то для построения упаковки остается подсчитать по формулам (5) координаты (x_i, y_i) прямоугольников. В противном случае — алгоритм допустимое решение не нашел.

Список блочных декодеров можно и продолжить. Применялись различные модификации **DLS** [7].

3. ТЕХНОЛОГИЯ БЛОЧНЫХ СТРУКТУР: ВЕРОЯТНОСТНЫЕ БЛОК-АЛГОРИТМЫ ЛОКАЛЬНОГО ПОИСКА

Двойственный метод локального поиска оптимальной упаковки. Рандомизированная двойственная схема генерирует новый список π путем перестановки всех элементов. Это так называемый *наивный эволюционный алгоритм*. Используя полученный список π , решаем задачу прямоугольно ориентированного линейного раскроя алгоритмом первый подходящий (**FF**) с учетом 1° и 2° и получаем пару (S, N) . **RCSP*** решается с помощью **FF** с учетом 1° , 2° и 3° . После получения каждого варианта решения $(\tilde{S}; \tilde{N})$ возможны следующие случаи:

1. Выполнено условие $\tilde{N} \leq W$, переходим к расчету (x_i, y_i) по формуле (5).

2. Оказалось, что $\tilde{N} > W$, переходим к другому списку π в окрестности, отбраковывая ранее полученную вертикальную блок-структуру.

Процедура *анализ перехода* оставляет лучшую из найденных упаковок и оценивает в процентах отклонение ее длины от лучшего

решения линейной задачи. Для найденного лучшего решения по формулам (5) подсчитывают координаты прямоугольников и изображают эскиз упаковки.

Генетический блочный алгоритм (Genetic Block Algorithm, GBA). Пусть задана исходная информация (W, m, w, l) для решения **1.5DBP**. Затем формируется исходная информация (Z, m, λ, b) для задачи **1DCSP**. Решая эту задачу с учетом свойств 1° и 2° , строим пару (S, N) . Полученная блок-структура, вообще говоря, не является упаковкой. Ее длина N может использоваться в качестве квазиграницы **RP** в рассматриваемой окрестности.

Генетический алгоритм решения задачи **1.5DBP** интерпретируется как эволюционный процесс, связанный с перестановкой элементов в кортежах. Каждой допустимой упаковке **RP** отвечает ее блочное представление (4), кортежи в нем расположены в установленном порядке и связаны друг с другом (свойство 2°). Это позволяет интерпретировать их как гены, а блок-структуру можно интерпретировать хромосомой, содержащей сцепленные между собой гены. Местоположение гена в хромосоме является локусом, а альтернативные формы одного и того же гена, расположенные в одинаковых локусах хромосомы, интерпретируются аллелями. Хромосома, содержащая в своих локусах конкретные значения аллелей, представляет *генотип*. Конечное множество всех допустимых генотипов образует *генотип*. Фиксированная блок-структура со значением N функции цели определяет окрестность, в которой реализуется локальный поиск оптимума. *Степенью приспособленности* особи gr является значение L длины занятой части полосы прямоугольной упаковки **RP**. *Оценочной функцией* в окрестности с фиксированным значением N является величина $\Delta = (L - N)/L$. Множество эквивалентных структур образует *ареал*, заданный окрестностью $\{N\}$, а совокупность особей (допустимых упаковок), принадлежащих ареалу, образует *популяцию* P . Численность генотипов популяции в множестве эквивалентных блок-структур определяется параметром $k = \sum_{\nu=1}^n r_\nu!$, где r_ν — количество начатых в блоке ν элементов, n — количество блоков. В общем случае экстремальной задачи **1.5DBP** популяция соответствует совокупности допустимых решений. С помощью основных генетических процедур *кроссовер* и *селекция* может быть найдена особь

с показателем $L = N$. На этом заканчивается работа алгоритма. Иначе, выполняя заданное количество генетических итераций, находят RP с $L < N$ и вычисляют значения оценочной функции. Далее ареал расширяется за счет применения мутации, перехода к новой окрестности. Тогда численность генофонда $k = n! \sum_{\nu=1}^n r_{\nu}!$.

Перечислим основные процедуры **GVA**.

Хромосома — вычисление блок-структуры с помощью модификаций алгоритма **SVC** [22].

Декодер — построение допустимой прямоугольной упаковки RP , пользуясь алгоритмом *перестройки* в сочетании с блочным декодером [24].

Генофонд — построение аллелей путем перестановок элементов в кортежах.

Кроссовер — выбор случайной хромосомы (родителя), выбор гена (блока) хромосомы, перестановка двух случайных элементов в блоках.

Мутация — построение новой начальной хромосомы.

Алгоритм **GVA** состоит из выполнения следующих шагов:

G1. Построение блок-структуры начальной хромосомы.

G2. Построение начальной популяции. Выполняются процедуры *генофонд* и *декодер*. Повторяется до получения заданного количества особей в популяции.

G3. Кроссовер и занесение в популяцию наиболее приспособленных особей.

G4. Мутация и переход на G1.

Выполняется алгоритм до тех пор, пока не достигнута *квазигранца*, полученная **SVC**, или не выполнено заданное количество шагов.

ЗАКЛЮЧЕНИЕ

Статья посвящена блочной технологии конструирования алгоритмов прямоугольной упаковки: введены понятия блок-структур и блочные способы кодирования упаковок; сформулированы и обоснованы основные свойства блок-структур, в том числе необходимые и достаточные условия эквивалентности блок-структур и прямоугольной упаковки.

На этой основе разработана аппроксимация прямоугольной упаковки линейным раскроем специального вида и предложены две группы алгоритмов. Первая использу-

ет вертикальную и горизонтальную структуры. Вторая — вертикальную блок-структуру. Основным достоинством является открытая методология разработки блочных алгоритмов. На этой базе могут создаваться более эффективные эвристики, приближенные и точные алгоритмы. Более того, технология может применяться и для разработки методов расчета параллелепипедной упаковки.

СПИСОК ЛИТЕРАТУРЫ

1. **Батищев Д. Ю.** Генетические алгоритмы решения экстремальных задач: Учебное пособие / Под ред. Я. Е. Львовича. Воронеж: Воронежск. гос. техн. ун-т; Нижегородск. ун-т, 1995. 96 с.
2. **Канторович Л. В., Залгаллер В. А.** Рациональный раскрой промышленных материалов. Новосибирск: Наука, СО, 1971. 299 с.
3. **Канторович Л. В., Залгаллер В. А.** Расчет рационального раскроя материалов. Л.: Лениздат, 1951.
4. **Картак В. М.** Оптимальная упаковка N -мерных параллелепипедов в полубесконечность // Методы оптимизации и их приложения: 12-я Байкальск. междунар. конф. Иркутск, 2001. С. 18–22.
5. **Кочетов Ю. А.** Вероятностные методы локального поиска для задач дискретной оптимизации // Дискретная математика и ее приложения: Сб. лекц. молодежн. и науч. шк. по дискретной математике и ее приложениям. М.: Изд-во ЦПИ при мех.-мат. фак-те МГУ, 2000. С. 87–117.
6. **Мухачева А. С., Ширгазин Р. Р.** Задачи упаковки прямоугольников: рандомизированная эвристика на базе двойственной схемы локального поиска оптимума // Информационные технологии. 2003. № 5. С. 18–23.
7. **Мухачева Э. А., Мухачева А. С.** Задача прямоугольной упаковки: методы локального поиска оптимума на базе блочных структур // Автоматика и телемеханика. 2004. № 2. С. 101–112.
8. **Мухачева А. С., Мухачева Э. А.** Конструирование алгоритмов локального поиска оптимума прямоугольной упаковки на базе двойственных задач линейного раскроя // Информационные технологии. 2002. № 6. С. 25–30.
9. **Мухачева А. С., Чиглинец А. В.** Генетический алгоритм поиска минимума в задачах двухмерного гильотинного раскроя // Информационные технологии. 2001. № 3. С. 27–32.
10. **Мухачева А. С., Чиглинец А. В., Смагин М. А., Мухачева Э. А.** Задачи двухмерной упаковки: развитие генетических алгоритмов на базе смешанных процедур локального поиска оптимального решения // Информационные технологии. 2001. № 9. Приложение. 24 с.

11. **Мухачева Э. А., Валесва А. Ф.** Метод динамического перебора в задаче двухмерной упаковки // Информационные технологии. 2000. № 5. С. 30–37.
12. **Мухачева Э. А.** Рациональный раскрой промышленных материалов. Применение в АСУ. М.: Машиностроение, 1984. 176 с.
13. **Мухачева Э. А., Верхотуров М. А., Мартынов В. В.** Модели и методы расчета раскроя упаковки геометрических объектов // Уфа: УГАТУ, 1998. 216 с.
14. **Мухачева Э. А., Мухачева А. С.** Метод перестройки для решения задачи прямоугольной упаковки // Информационные технологии. 2000. № 4. С. 30–36.
15. **Мухачева Э. А., Мухачева А. С., Белов Г. Н.** Метод последовательного уточнения оценок: алгоритм и численный эксперимент для задачи одномерного раскроя // Информационные технологии. 2000. № 2. С. 11–17.
16. **Мухачева Э. А., Мухачева А. С., Чиглицев А. В.** Генетический алгоритм блочной структуры в задачах двухмерной упаковки // Информационные технологии. 1999. № 11. С. 13–18.
17. **Норенков И. П.** Эвристики и их комбинации в генетических методах дискретной оптимизации // Информационные технологии. 1999. № 1. С. 2–7.
18. **Романовский И. В.** Решение задачи гильотинного раскроя методом переработки списка состояний // Кибернетика. 1969. № 1. С. 102–104.
19. **Lurts E., Lenstra J.** (Edt). Local Search in Combinatorial Optimization. John Wiley & Sons, 1996.
20. **Belov G.** A branch-and-price algorithm for one-and-two dimensional two-stage cutting (stock) problems // Techn. Rep. MATH-NM-03-03. Dresden Univ, 2003. URL: www.math.tu-dresden.de/capad.
21. **Bischoff E., Wascher G.** (Edt). Special issue: Cutting and packing // Europ. J. of Operat. Res. 1995. 84 (2).
22. **Dyckhoff H.** A typology of cutting and packing problems // Europ. J. of Operat. Res. 1990. V. 44, No. 2. P. 145–159.
23. **Dyckhoff H., Wascher G.** (Edit). Special issue: Cutting and packing // Europ. J. of Operat. Res. 1990. V. 44, No. 2.
24. **Folkenaer E.** A hybrid grouping genetic algorithm for bin packing // J. of Heuristics. 1998. 2 (1). P. 5–30.
25. **Gilmore P. C., Gomory R. E.** A linear programming approach to the cutting-stock problem // Operat. Res. 1961. 9. P. 849–859.
26. **Hinxman A.** The trim-loss and assortment problems: a survey // Europ. J. of Operat. Res. 1980. No. 11. P. 863–888.
27. **Hopper E., Turton B.** An empirical investigation of meta-heuristic and heuristic algorithms for a 2D packing problem // EJOR. 128. 2001. P. 34–57.
28. **Imahori S., Yaguira M., Ibaraki T.** Local search heuristics for the rectangle packing problem with general spatial costs // MIC'2001 - 4th Metaheuristics Int. Conf. P. 471–476.
29. **Lirov Y.** (Edt). Special issue: Geometric resource allocation // Math. and Comp. Modelling. 1995. 16 (1).
30. **Liu D., Teng H.** An improved BL-algorithm for genetic algorithm of the orthogonal packing of rectangles // Europ. J. of Operat. Res. 1999. 112. P. 413–420.
31. **Martello S.** (Edt). Special issue: Knapsack, packing and cutting. Part I. One dimensional knapsack problem // INFOR. 1994. 32 (3).
32. **Martello S.** (Edt). Special issue: Knapsack, packing and cutting. Part II. Multidimensional knapsack and cutting stock problems // INFOR. 1994. 32 (4).
33. **Mukhacheva E.** (Edt). Special issue: Decision making under conditions of uncertainty (cutting-packing problems) // The Int. Scient. Collect. Ufa, Russia, 1997.
34. **Terno J., Lindeman R., Scheithauer G.** Zuschnittprobleme und ihre praktische Lösung. Leipzig, 1987.
35. **Wang P., Wascher G.** (Edt). Special issue: Cutting packing problems // Europ. J. of Operat. Res. 2002. 141.
36. **Yanasse H.** (Edt). Special issue: Cutting and packing problems // Pesquisa Operacional. 1999. 19 (2).

ОБ АВТОРЕ



Филиппова Анна Сергеевна, доц., каф. выч. мат. и киберн. Дипл. инж.-системотехник (УГАТУ, 1996). Канд. физ.-мат. наук по примен. выч. тех-ки, мат. моделир. и мат. методов в науч. иссл. (защ. в БГУ, 1999). Тр. в обл. прикл. задач иссл. операций.